

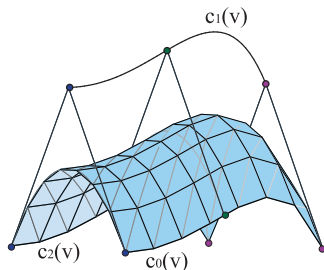
# Superficies de Bézier

Leonardo Fernández Jambrina

Matemática Aplicada  
E.T.S.I. Navales  
Universidad Politécnica de Madrid

# De curvas a superficies

- Las superficies son mucho más complejas geoméricamente que las curvas.
- No obstante, el diseño está basado tradicionalmente en curvas.
- “Buenas curvas hacen buenas superficies” (refrán popular)



# Generación de superficies

- ¿Cómo podemos generar superficies a partir de curvas?
- Si desplazamos los vértices del polígono de control a lo largo de curvas,  $\{c_0(v), \dots, c_m(v)\}$ ,  $v \in [0, 1]$ ,

$$c(u, v) = \sum_{i=0}^m c_i(v) B_i^m(u),$$

las curvas de Bézier  $c(u, v_0)$ , de polígonos  $\{c_0(v_0), \dots, c_m(v_0)\}$ , evolucionan en el espacio describiendo una superficie  $c(u, v)$ .



# Generación de superficies

- ¿Cómo podemos generar superficies a partir de curvas?
- Si desplazamos los vértices del polígono de control a lo largo de curvas,  $\{c_0(v), \dots, c_m(v)\}$ ,  $v \in [0, 1]$ ,

$$c(u, v) = \sum_{i=0}^m c_i(v) B_i^m(u),$$

las curvas de Bézier  $c(u, v_0)$ , de polígonos  $\{c_0(v_0), \dots, c_m(v_0)\}$ , evolucionan en el espacio describiendo una superficie  $c(u, v)$ .

- Por coherencia, parece razonable postular que la evolución de los vértices sea también polinómica,

$$c_i(v) = \sum_{j=0}^n (c_i)_j B_j^n(v),$$

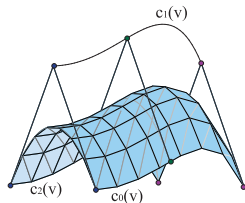
# Generación de superficies

- Por coherencia, parece razonable postular que la evolución de los vértices sea también polinómica,

$$c_i(v) = \sum_{j=0}^n (c_i)_j B_j^n(v),$$

- La superficie resultante será polinómica de grado  $m$  en  $u$  y  $n$  en  $v$  (**bigrado**  $(m,n)$ ),

$$c(u, v) = \sum_{i=0}^m \sum_{j=0}^n c_{i,j} B_i^m(u) B_j^n(v), \quad u, v \in [0, 1].$$



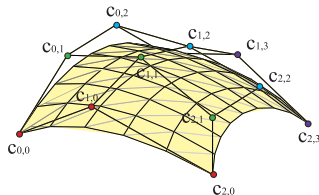
# Generación de superficies


- Por coherencia, parece razonable postular que la evolución de los vértices sea también polinómica,

$$c_i(v) = \sum_{j=0}^n (c_i)_j B_j^n(v),$$

- La superficie resultante será polinómica de grado  $m$  en  $u$  y  $n$  en  $v$  (**bigrado**  $(m,n)$ ),

$$c(u, v) = \sum_{i=0}^m \sum_{j=0}^n c_{i,j} B_i^m(u) B_j^n(v), \quad u, v \in [0, 1].$$



- Curvas polinómicas.
- Curvas racionales.
- Curvas *spline*.
- Superficies de Bézier. 
- Generación de superficies.

- 1 Motivación
- 2 Superficies de Bézier
- 3 Propiedades de las superficies
- 4 Algoritmo de De Casteljau
- 5 Elevación del grado
- 6 Derivadas
- 7 Interpolación y aproximación



# Superficies de Bézier

- Una superficie polinómica de Bézier de bigrado  $(m, n)$  se define

por una **mallá de control**,  $\begin{pmatrix} c_{0,0} & \cdots & c_{0,n} \\ \vdots & \ddots & \vdots \\ c_{m,0} & \cdots & c_{m,n} \end{pmatrix}$ .

$$c(u, v) = \sum_{i=0}^m \sum_{j=0}^n c_{i,j} B_i^m(u) B_j^n(v), \quad u, v \in [0, 1].$$

- Nótese que la base de funciones es partición de la unidad,

$$\sum_{i=0}^m \sum_{j=0}^n B_i^m(u) B_j^n(v) \equiv 1.$$

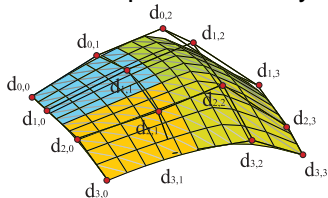
- Esto permite que las superficies hereden las buenas propiedades de las curvas.

# Superficies B-spline

- Sustituir los polinomios de Bernstein por las funciones B-spline.
- Una superficie B-spline de bigrado  $(m, n)$  y  $M \times N$  tramos precisa dos listas de nudos,  $\{u_0, \dots, u_{2m+M-2}\}$ ,  $\{v_0, \dots, v_{2n+N-2}\}$  y una malla B-spline formada por  $\{d_{0,0}, \dots, d_{m+M-1, n+N-1}\}$ .
- Está parametrizada en  $[u_{m-1}, u_{m+M-1}] \times [v_{n-1}, v_{n+N-1}]$ ,

$$c(u, v) = \sum_{i=0}^{m+M-1} \sum_{j=0}^{n+N-1} d_{i,j} N_i^m(u) N_j^n(v),$$

- Las listas suelen comenzar y acabar con  $m$  y  $n$  nudos repetidos.
- El algoritmo de inserción, de De Boor... hay que aplicarlos a la malla en dos pasadas: una para las filas y otra para las columnas.

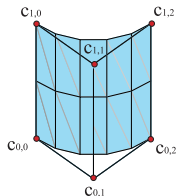


# Superficies racionales de Bézier

- Si la superficie es racional, es preciso dar además la **matriz de pesos** de los vértices,

$$\begin{pmatrix} w_{0,0} & \cdots & w_{0,n} \\ \vdots & \ddots & \vdots \\ w_{m,0} & \cdots & w_{m,n} \end{pmatrix},$$

$$c(u, v) = \frac{\sum_{i=0}^m \sum_{j=0}^n w_{i,j} c_{i,j} B_i^m(u) B_j^n(v)}{\sum_{i=0}^m \sum_{j=0}^n w_{i,j} B_i^m(u) B_j^n(v)}, \quad u, v \in [0, 1].$$



# Superficies racionales B-spline

- Una superficie NURBS de bigrado  $(m, n)$  y  $M \times N$  tramos precisa dos listas de nudos,  $\{u_0, \dots, u_{2m+M-2}\}$ ,  $\{v_0, \dots, v_{2n+N-2}\}$  y una malla B-spline formada por  $\{d_{0,0}, \dots, d_{m+M-1, n+N-1}\}$  y la **matriz**

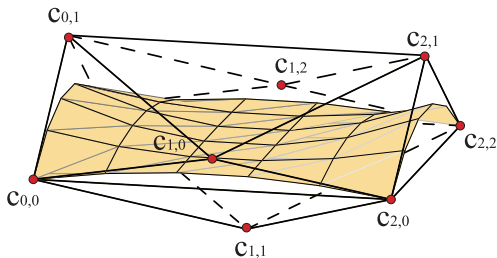
**de pesos** de los vértices, 
$$\begin{pmatrix} w_{0,0} & \cdots & w_{0,n+N-1} \\ \vdots & \ddots & \vdots \\ w_{m+M-1,0} & \cdots & w_{m+M-1,n+N-1} \end{pmatrix}.$$

- Está parametrizada en  $[u_{m-1}, u_{m+M-1}] \times [v_{n-1}, v_{n+N-1}]$ ,

$$c(u, v) = \frac{\sum_{i=0}^{m+M-1} \sum_{j=0}^{n+N-1} w_{i,j} d_{i,j} N_i^m(u) N_j^n(v)}{\sum_{i=0}^{m+M-1} \sum_{j=0}^{n+N-1} w_{i,j} N_i^m(u) N_j^n(v)}.$$

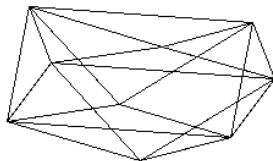
# Propiedades de las superficies de Bézier

- **Invariancia afín** (proyectiva para superficies racionales): La imagen de una superficie de malla  $\{c_{0,0}, \dots, c_{m,n}\}$  bajo una aplicación afín  $f$  es una superficie de malla  $\{f(c_{0,0}), \dots, f(c_{m,n})\}$ .
- **Envolvente convexa**: La superficie sigue estando comprendida en el menor poliedro convexo que contenga a todos los vértices de la malla.



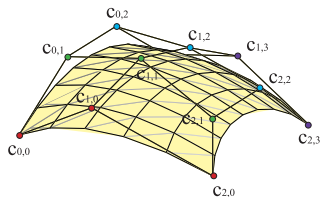
# Propiedades de las superficies de Bézier

- **Invariancia afín** (proyectiva para superficies racionales): La imagen de una superficie de malla  $\{c_{0,0}, \dots, c_{m,n}\}$  bajo una aplicación afín  $f$  es una superficie de malla  $\{f(c_{0,0}), \dots, f(c_{m,n})\}$ .
- **Envolvente convexa**: La superficie sigue estando comprendida en el menor poliedro convexo que contenga a todos los vértices de la malla.



# Borde de la superficie

- **Extremos:** La superficie sólo pasa por las esquinas de la malla,  $c_{0,0} = c(0,0)$ ,  $c_{m,0} = c(1,0)$ ,  $c_{0,n} = c(0,1)$ ,  $c_{m,n} = c(1,1)$ .



- **Bordes:** Las filas y columnas del borde la malla describen el borde de la superficie.
- La curva  $u = 0$ ,

$$c(0, v) = \sum_{i=0}^m \sum_{j=0}^n c_{i,j} B_i^m(0) B_j^n(v) = \sum_{j=0}^n c_{0,j} B_j^n(v), \quad v \in [0, 1],$$

tiene por polígono  $\{c_{0,0}, \dots, c_{0,n}\}$ , primera fila de la malla.

- **Extremos:** La superficie sólo pasa por las esquinas de la malla,

$$c_{0,0} = c(0,0), \quad c_{m,0} = c(1,0), \quad c_{0,n} = c(0,1), \quad c_{m,n} = c(1,1).$$

- **Bordes:** Las filas y columnas del borde la malla describen el borde de la superficie.
- La curva  $u = 0$ , tiene por polígono  $\{c_{0,0}, \dots, c_{0,n}\}$ , primera fila de la malla.
- La última fila,  $\{c_{m,0}, \dots, c_{m,n}\}$ , es el polígono de la curva  $c(1, v)$ .
- El polígono de  $c(u, 0)$  es la primera columna,  $\{c_{0,0}, \dots, c_{m,0}\}$ .
- El polígono de  $c(u, 1)$  es la última columna,  $\{c_{0,n}, \dots, c_{m,n}\}$ .
- Estas propiedades se mantienen en las superficies *spline* en el caso de nudos repetidos.

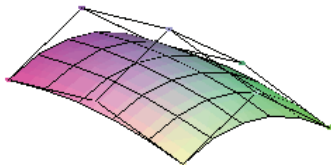


# Borde de la superficie

- **Extremos:** La superficie sólo pasa por las esquinas de la malla,

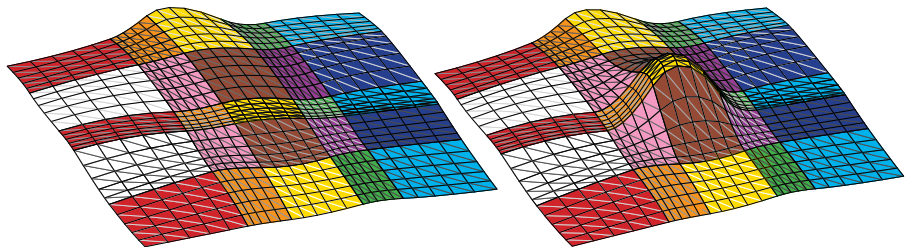
$$c_{0,0} = c(0,0), \quad c_{m,0} = c(1,0), \quad c_{0,n} = c(0,1), \quad c_{m,n} = c(1,1).$$

- **Bordes:** Las filas y columnas del borde la malla describen el borde de la superficie.



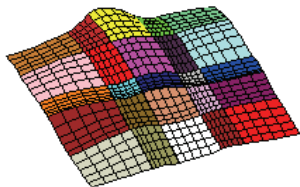
# Control local

- **Control local:** Las superficies *spline* siguen teniendo esta propiedad.
- Un vértice de la malla de control afecta a lo sumo a  $(m + 1) \cdot (n + 1)$  tramos de la superficie.
- Obviamente, un vértices próximo al borde afecta a menos tramos.

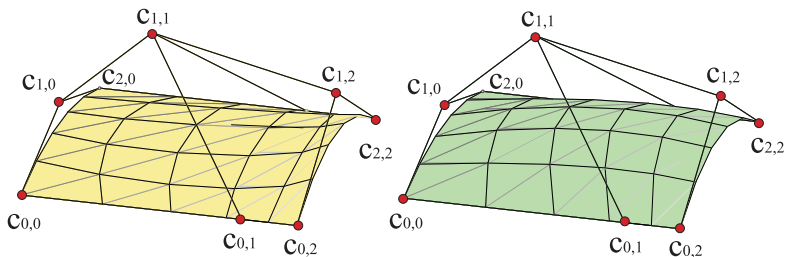


# Control local

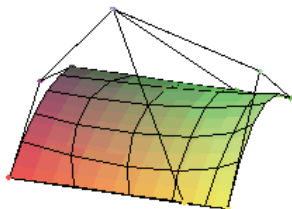
- **Control local:** Las superficies *spline* siguen teniendo esta propiedad.
- Un vértice de la malla de control afecta a lo sumo a  $(m + 1) \cdot (n + 1)$  tramos de la superficie.
- Obviamente, un vértices próximo al borde afecta a menos tramos.



- Al aumentar un peso, la superficie se acerca al vértice correspondiente de la malla.
- Un peso afecta a lo sumo a  $(m + 1) \cdot (n + 1)$  tramos de la superficie.

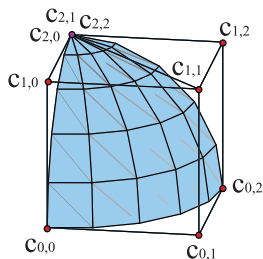


- Al aumentar un peso, la superficie se acerca al vértice correspondiente de la malla.
- Un peso afecta a lo sumo a  $(m + 1) \cdot (n + 1)$  tramos de la superficie.



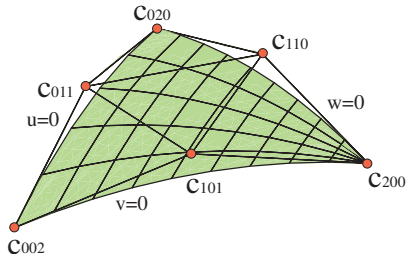
# Problemas de las superficies de Bézier

- Esta representación de las superficies se conoce como representación **producto tensorial**, porque la base de funciones es el producto de las bases de polinomios en las variables  $u, v$ .
- Es cómoda para superficies abiertas.
- Presenta problemas en otras topologías (cilindros, esferas), ya que suelen requerir mallas degeneradas (vértices repetidos).



# Problemas de las superficies de Bézier

- Esta representación de las superficies se conoce como representación **producto tensorial**, porque la base de funciones es el producto de las bases de polinomios en las variables  $u$ ,  $v$ .
- Es cómoda para superficies abiertas.
- Presenta problemas en otras topologías (cilindros, esferas), ya que suelen requerir mallas degeneradas (vértices repetidos).
- Existen otras representaciones más versátiles: **triángulos de Bézier**.



# Algoritmo de De Casteljau

- No presenta problemas aplicarlo a una superficie de malla  $\{c_{0,0}, \dots, c_{m,n}\}$ .
- Se aplica dos veces:
- La primera a las  $n + 1$  columnas de la malla,

$$\begin{pmatrix} c_{0,0} & \cdots & c_{0,n} \\ \vdots & \ddots & \vdots \\ c_{m,0} & \cdots & c_{m,n} \end{pmatrix} \longrightarrow \{c_0(u), \dots, c_n(u)\} \longrightarrow c(u, v),$$

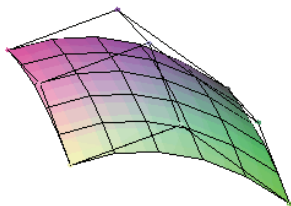
y la segunda al polígono resultante. O a la inversa.



# Polarización

- Del mismo modo, se define la polarización  $c[u_1, \dots, u_m; v_1, \dots, v_m]$  resultado de interpolar con un valor distinto en cada paso del algoritmo.
- Recupera los vértices,  $c_{i,j} = c[0^{<m-i>}, 1^{<i>}; 0^{<n-j>}, 1^{<j>}]$ .
- **Restricción:** si queremos restringir la superficie a los intervalos  $u \in [a, b]$ ,  $v \in [c, d]$ , los vértices de la nueva malla son

$$\tilde{c}_{i,j} = c[a^{<m-i>}, b^{<i>}; c^{<n-j>}, d^{<j>}].$$



# Elevación del grado

- Si tenemos una malla de bigrado  $(m, n)$ ,  $\{c_{0,0}, \dots, c_{m,n}\}$  la expresamos como superficie de bigrado  $(m+1, n)$  aplicando el algoritmo de elevación a las  $n+1$  columnas de la malla.

$$c(u, v) = \sum_{i=0}^m \sum_{j=0}^n c_{i,j} B_i^m(u) B_j^n(v) = \sum_{i=0}^{m+1} \sum_{j=0}^n c_{i,j}^{1,0} B_i^{m+1}(u) B_j^n(v),$$

$$c_{i,j}^{1,0} = \left(1 - \frac{i}{m+1}\right) c_{i,j} + \frac{i}{m+1} c_{i-1,j},$$

- Si queremos elevar el bigrado a  $(m, n+1)$ , aplicamos el algoritmo a las  $m+1$  filas de la malla de control,

$$c(u, v) = \sum_{i=0}^m \sum_{j=0}^n c_{i,j} B_i^m(u) B_j^n(v) = \sum_{i=0}^m \sum_{j=0}^{n+1} c_{i,j}^{0,1} B_i^m(u) B_j^{n+1}(v),$$

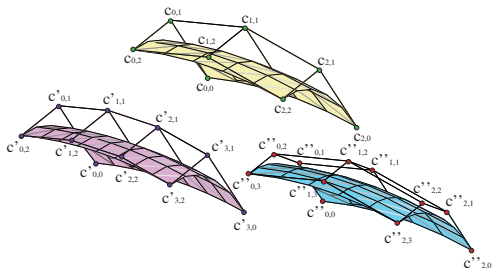
$$c_{i,j}^{0,1} = \left(1 - \frac{j}{n+1}\right) c_{i,j} + \frac{j}{n+1} c_{i,j-1}.$$

# Elevación del grado

- Si tenemos una malla de bigrado  $(m, n)$ ,  $\{c_{0,0}, \dots, c_{m,n}\}$  la expresamos como superficie de bigrado  $(m+1, n)$  aplicando el algoritmo de elevación a las  $n+1$  columnas de la malla.

$$c(u, v) = \sum_{i=0}^m \sum_{j=0}^n c_{i,j} B_i^m(u) B_j^n(v) = \sum_{i=0}^{m+1} \sum_{j=0}^n c_{i,j}^{1,0} B_i^{m+1}(u) B_j^n(v),$$

$$c_{i,j}^{1,0} = \left(1 - \frac{i}{m+1}\right) c_{i,j} + \frac{i}{m+1} c_{i-1,j},$$

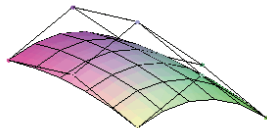


# Elevación del grado

- Si tenemos una malla de bigrado  $(m, n)$ ,  $\{c_{0,0}, \dots, c_{m,n}\}$  la expresamos como superficie de bigrado  $(m+1, n)$  aplicando el algoritmo de elevación a las  $n+1$  columnas de la malla.

$$c(u, v) = \sum_{i=0}^m \sum_{j=0}^n c_{i,j} B_i^m(u) B_j^n(v) = \sum_{i=0}^{m+1} \sum_{j=0}^n c_{i,j}^{1,0} B_i^{m+1}(u) B_j^n(v),$$

$$c_{i,j}^{1,0} = \left(1 - \frac{i}{m+1}\right) c_{i,j} + \frac{i}{m+1} c_{i-1,j},$$



- La derivada con respecto a  $u$ ,

$$\frac{\partial c(u, v)}{\partial u} = m \sum_{j=0}^n \sum_{i=0}^{m-1} \Delta^{1,0} c_{i,j} B_i^{m-1}(u) B_j^n(v),$$

$$\Delta^{1,0} c_{i,j} = c_{i+1,j} - c_{i,j}, \quad \Delta^{0,1} c_{i,j} = c_{i,j+1} - c_{i,j}.$$

- La derivada parcial respecto a  $v$  es

$$\frac{\partial c(u, v)}{\partial v} = n \sum_{i=0}^m \sum_{j=0}^{n-1} \Delta^{0,1} c_{i,j} B_i^m(u) B_j^{n-1}(v),$$

- La generalización a derivadas superiores es inmediata,

$$\frac{\partial^{r+s} c(u, v)}{\partial u^r \partial v^s} = \frac{m! n!}{(m-r)!(n-s)!} \sum_{i=0}^{m-r} \sum_{j=0}^{n-s} \Delta^{r,s} c_{i,j} B_i^{m-r}(u) B_j^{n-s}(v).$$

# Derivadas en los bordes

- Consideraremos el borde en  $u = 0$ .
- La novedad es la aparición de las derivadas transversales al borde, las parciales con respecto a  $u$ ,

$$\left. \frac{\partial^r c(u, v)}{\partial u^r} \right|_{u=0} = \frac{m!}{(m-r)!} \sum_{j=0}^n \Delta^{r,0} c_{0,j} B_j^n(v).$$

- Y en  $u = 1$ ,

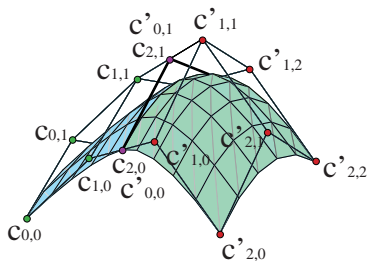
$$\left. \frac{\partial^r c(u, v)}{\partial u^r} \right|_{u=1} = \frac{m!}{(m-r)!} \sum_{j=0}^n \Delta^{r,0} c_{m-r,j} B_j^n(v).$$

- Permite interpretar las hileras interiores de vértices de la malla: la primera define el borde, la segunda la tangente y así sucesivamente.

# Unión de superficies

- Dos superficies  $c(u, v)$ ,  $\tilde{c}(u, v)$  en  $[u_0, u_1] \times [v_0, v_1]$ ,  $[u_1, u_2] \times [v_0, v_1]$ , con mallas  $\{c_{0,0}, \dots, c_{m,n}\}$  y  $\{\tilde{c}_{0,0}, \dots, \tilde{c}_{m,n}\}$ .
- Queremos unir las a lo largo del borde  $u = u_1$ .
- La continuidad exige que  $c(u_1, v) \equiv \tilde{c}(u_1, v)$ .
- Es decir, sus polígonos de control son los mismos: la última fila de la malla de la primera superficie y la primera fila de la segunda,

$$c(u_1, v) = \tilde{c}(u_1, v) \Rightarrow c_{m,j} = \tilde{c}_{0,j}, \quad j = 0, \dots, n.$$

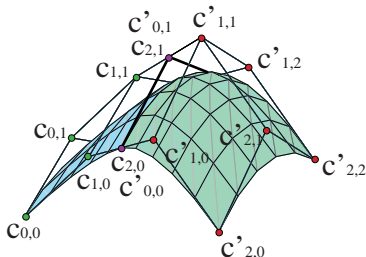


# Unión de superficies

- Dos superficies  $c(u, v)$ ,  $\tilde{c}(u, v)$  en  $[u_0, u_1] \times [v_0, v_1]$ ,  $[u_1, u_2] \times [v_0, v_1]$ , con mallas  $\{c_{0,0}, \dots, c_{m,n}\}$  y  $\{\tilde{c}_{0,0}, \dots, \tilde{c}_{m,n}\}$ .
- Queremos unir las a lo largo del borde  $u = u_1$ .
- La superficie compuesta es  $C^1$  si

$$\left. \frac{\partial c(u, v)}{\partial u} \right|_{u=u_1} = \left. \frac{\partial \tilde{c}(u, v)}{\partial u} \right|_{u=u_1} \Rightarrow \frac{\Delta^{1,0} c_{m-1,j}}{\Delta u_0} = \frac{\Delta^{1,0} \tilde{c}_{0,j}}{\Delta u_1}, \quad j = 0, \dots, n.$$

- Ser  $C^1$  afecta a la franja de vértices de las dos últimas filas de la primera superficie y las dos primeras filas de la segunda.



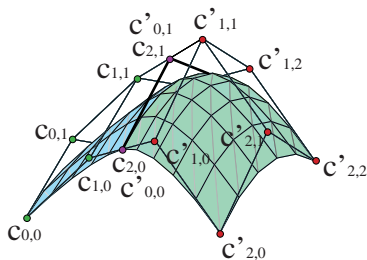


# Unión de superficies

- Dos superficies  $c(u, v)$ ,  $\tilde{c}(u, v)$  en  $[u_0, u_1] \times [v_0, v_1]$ ,  $[u_1, u_2] \times [v_0, v_1]$ , con mallas  $\{c_{0,0}, \dots, c_{m,n}\}$  y  $\{\tilde{c}_{0,0}, \dots, \tilde{c}_{m,n}\}$ .
- Queremos unir las a lo largo del borde  $u = u_1$ .
- La superficie compuesta es  $C^r$  si

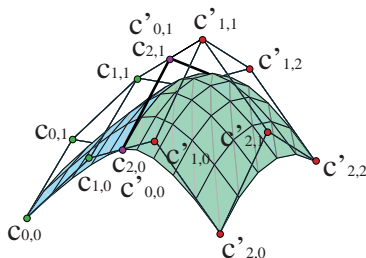
$$\frac{\Delta^{r,0} c_{m-r,j}}{(\Delta u_0)^r} = \frac{\Delta^{r,0} \tilde{c}_{0,j}}{(\Delta u_1)^r}, \quad j = 0, \dots, n.$$

- Ser  $C^r$  afecta a la franja de vértices de las  $r + 1$  últimas filas de la primera superficie y las  $r + 1$  primeras filas de la segunda.



# Unión de superficies

- Dos superficies  $c(u, v)$ ,  $\tilde{c}(u, v)$  en  $[u_0, u_1] \times [v_0, v_1]$ ,  $[u_1, u_2] \times [v_0, v_1]$ , con mallas  $\{c_{0,0}, \dots, c_{m,n}\}$  y  $\{\tilde{c}_{0,0}, \dots, \tilde{c}_{m,n}\}$ .
- Queremos unir las a lo largo del borde  $u = u_1$ .
- El problema de construir superficies compuestas se complica si queremos añadir superficies de Bézier definidas en otros bordes, ya que un vértice está determinado por varias condiciones.
- Las superficies B-spline solucionan estos problemas salvo que repetamos nudos.

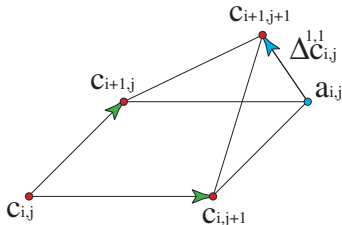


- Las derivadas segundas cruzadas se suelen llamar *twists*,

$$\frac{\partial^2 c(u, v)}{\partial u \partial v} = mn \sum_{i=0}^{m-1} \sum_{j=0}^{n-1} \Delta^{1,1} c_{i,j} B_i^{m-1}(u) B_j^{n-1}(v),$$

$$\Delta^{1,1} c_{i,j} = c_{i+1,j+1} - a_{i,j}, \quad a_{i,j} = c_{i,j} + \overrightarrow{c_{i,j}c_{i+1,j}} + \overrightarrow{c_{i,j}c_{i,j+1}}.$$

- El vector  $\Delta^{1,1} c_{i,j}$  representa la separación del vértice  $c_{i+1,j+1}$  respecto del paralelogramo que determinan  $c_{i,j}$ ,  $c_{i+1,j}$ ,  $c_{i,j+1}$ ,  $a_{i,j}$ .

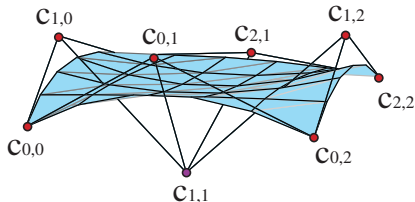
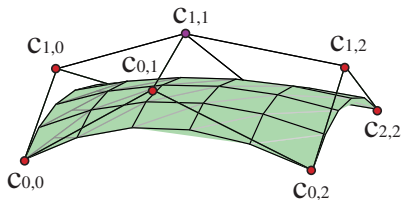


- Las derivadas segundas cruzadas se suelen llamar *twists*,

$$\frac{\partial^2 c(u, v)}{\partial u \partial v} = mn \sum_{i=0}^{m-1} \sum_{j=0}^{n-1} \Delta^{1,1} c_{i,j} B_i^{m-1}(u) B_j^{n-1}(v),$$

$$\Delta^{1,1} c_{i,j} = c_{i+1,j+1} - a_{i,j}, \quad a_{i,j} = c_{i,j} + \overrightarrow{c_{i,j}c_{i+1,j}} + \overrightarrow{c_{i,j}c_{i,j+1}}.$$

- En la esquina  $c_{0,0}$ , el *twist* mide la separación del vértice  $c_{1,1}$  del plano tangente en  $c_{0,0}$ .

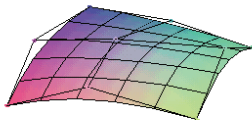


- Las derivadas segundas cruzadas se suelen llamar *twists*,

$$\frac{\partial^2 c(u, v)}{\partial u \partial v} = mn \sum_{i=0}^{m-1} \sum_{j=0}^{n-1} \Delta^{1,1} c_{i,j} B_i^{m-1}(u) B_j^{n-1}(v),$$

$$\Delta^{1,1} c_{i,j} = c_{i+1,j+1} - a_{i,j}, \quad a_{i,j} = c_{i,j} + \overrightarrow{c_{i,j}c_{i+1,j}} + \overrightarrow{c_{i,j}c_{i,j+1}}.$$

- En una superficie bicúbica la malla posee 16 vértices (12 en el borde). Los 4 vértices interiores los fijan los *twists*.

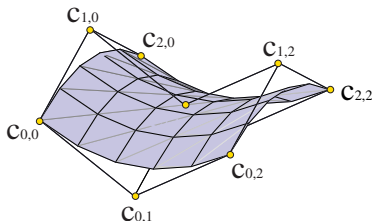


- Las derivadas segundas cruzadas se suelen llamar *twists*,

$$\frac{\partial^2 c(u, v)}{\partial u \partial v} = mn \sum_{i=0}^{m-1} \sum_{j=0}^{n-1} \Delta^{1,1} c_{i,j} B_i^{m-1}(u) B_j^{n-1}(v),$$

$$\Delta^{1,1} c_{i,j} = c_{i+1,j+1} - a_{i,j}, \quad a_{i,j} = c_{i,j} + \overrightarrow{c_{i,j}c_{i+1,j}} + \overrightarrow{c_{i,j}c_{i,j+1}}.$$

- Las superficies de *twists* nulos se llaman **traslacionales**.

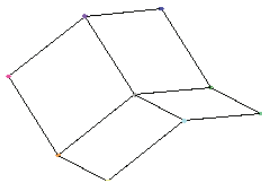


- Las derivadas segundas cruzadas se suelen llamar *twists*,

$$\frac{\partial^2 c(u, v)}{\partial u \partial v} = mn \sum_{i=0}^{m-1} \sum_{j=0}^{n-1} \Delta^{1,1} c_{i,j} B_i^{m-1}(u) B_j^{n-1}(v),$$

$$\Delta^{1,1} c_{i,j} = c_{i+1,j+1} - a_{i,j}, \quad a_{i,j} = c_{i,j} + \overrightarrow{c_{i,j}c_{i+1,j}} + \overrightarrow{c_{i,j}c_{i,j+1}}.$$

- Las superficies de *twists* nulos se llaman **traslacionales**.



# Interpolación polinómica

- Tenemos una nube de  $(m + 1) \cdot (n + 1)$  datos  $\{a_{0,0}, \dots, a_{m,n}\}$  por los cuales queremos interpolar una superficie  $c(u, v)$  tal que

$$a_{i,j} = c(u_i, v_j), \quad i = 0, \dots, m \quad j = 0, \dots, n.$$

- En vez de atacar el problema como un sistema de  $(m + 1) \cdot (n + 1)$  ecuaciones, lo escribimos como  $B_U C B_V^t = A$ .

$$A = \begin{pmatrix} a_{0,0} & \cdots & a_{0,n} \\ \vdots & \ddots & \vdots \\ a_{m,0} & \cdots & a_{m,n} \end{pmatrix}, \quad B_U = \begin{pmatrix} B_0^m(u_0) & \cdots & B_m^m(u_0) \\ \vdots & \ddots & \vdots \\ B_0^m(u_m) & \cdots & B_m^m(u_m) \end{pmatrix}$$
$$C = \begin{pmatrix} c_{0,0} & \cdots & c_{0,n} \\ \vdots & \ddots & \vdots \\ c_{m,0} & \cdots & c_{m,n} \end{pmatrix}, \quad B_V = \begin{pmatrix} B_0^n(v_0) & \cdots & B_n^n(v_0) \\ \vdots & \ddots & \vdots \\ B_0^n(v_n) & \cdots & B_n^n(v_n) \end{pmatrix}.$$

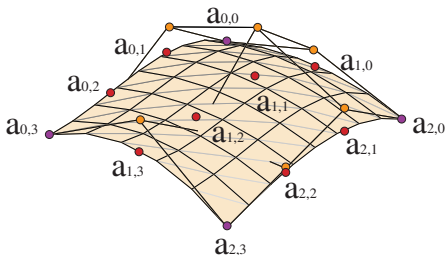


# Interpolación polinómica

- Tenemos una nube de  $(m + 1) \cdot (n + 1)$  datos  $\{a_{0,0}, \dots, a_{m,n}\}$  por los cuales queremos interpolar una superficie  $c(u, v)$  tal que

$$a_{i,j} = c(u_i, v_j), \quad i = 0, \dots, m \quad j = 0, \dots, n.$$

- En vez de atacar el problema como un sistema de  $(m + 1) \cdot (n + 1)$  ecuaciones, lo escribimos como  $B_U C B_V^t = A$ .
- Resolvemos los sistemas  $\tilde{C} B_V^t = A$  y con la solución obtenida,  $\tilde{C}$ , resolvemos  $B_U C = \tilde{C}$ .
- Hemos reducido el problema a dos sistemas de  $(m + 1)$  y  $(n + 1)$  ecuaciones.



# Interpolación polinómica

- Tenemos una nube de  $(m + 1) \cdot (n + 1)$  datos  $\{a_{0,0}, \dots, a_{m,n}\}$  por los cuales queremos interpolar una superficie  $c(u, v)$  tal que

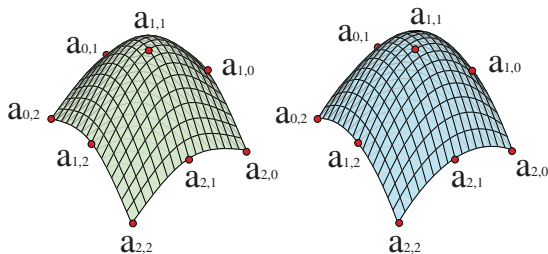
$$a_{i,j} = c(u_i, v_j), \quad i = 0, \dots, m \quad j = 0, \dots, n.$$

- En vez de atacar el problema como un sistema de  $(m + 1) \cdot (n + 1)$  ecuaciones, lo escribimos como  $B_U C B_V^t = A$ .



# Interpolación bicúbica *spline*

- Más común es interpolar mediante superficies B-*spline* bicúbicas.
- El planteamiento es el mismo, sustituyendo los polinomios de Bernstein por funciones B-*spline*.
- Las listas de nudos son  $\{u_0, \dots, u_M\}$ ,  $\{v_0, \dots, v_N\}$ , con los nudos inicial y final repetidos tres veces.
- Hace falta imponer condiciones de tangencia en los extremos.



# Interpolación bicúbica *spline*

- Más común es interpolar mediante superficies B-*spline* bicúbicas.
- El planteamiento es el mismo, sustituyendo los polinomios de Bernstein por funciones B-*spline*.
- Las listas de nudos son  $\{u_0, \dots, u_M\}$ ,  $\{v_0, \dots, v_N\}$ , con los nudos inicial y final repetidos tres veces.
- Hace falta imponer condiciones de tangencia en los extremos.



# Datos sin estructura

- En general los datos no están organizados en malla rectangular.
- Una superficie de bigrado  $(m, n)$  que aproxime un conjunto de datos,  $\{a_0, \dots, a_M\}$ , tales que  $a_i = c(u_i, v_i)$ .
- Sistema  $BC = A$ ,  $(m + 1) \cdot (n + 1)$  incógnitas,  $M + 1$  ecuaciones,

$$\begin{pmatrix} B_0^m(u_0)B_0^n(v_0) & \cdots & B_m^m(u_0)B_n^n(v_0) \\ \vdots & \ddots & \vdots \\ B_0^m(u_M)B_0^n(v_M) & \cdots & B_m^m(u_M)B_n^n(v_M) \end{pmatrix} \begin{pmatrix} c_{0,0} \\ \vdots \\ c_{m,n} \end{pmatrix} = \begin{pmatrix} a_0 \\ \vdots \\ a_M \end{pmatrix}.$$

- Se resuelve por mínimos cuadrados:  $B^t BC = B^t A$ .
- Para un número alto de datos el sistema está mal condicionado.

